УЛК 621.382.032.27

## ИССЛЕДОВАНИЕ ХАРАКТЕРИСТИК ЭЛЕКТРОДОВ СУПЕРКОНДЕНСАТОРОВ НА ОСНОВЕ ЛЕГИРОВАННЫХ КРЕМНИЙ-УГЛЕРОДНЫХ ПЛЕНОК

© 2023 г. И. Ю. Богуш<sup>1, \*</sup>, Н. К. Плуготаренко<sup>1</sup>

<sup>1</sup>Федеральное государственное автономное образовательное учреждение высшего образования "Южный федеральный университет", Институт нанотехнологий, электроники и приборостроения, Таганрог, Россия

\*E-mail: inlys@sfedu.ru

Поступила в редакцию 05.12.2022 г. После доработки 23.12.2022 г. Принята к публикации 27.02.2023 г.

Кремний-углеродные пленки нелегированные и легированные марганцем и никелем были исследованы методами циклической вольтамперометрии, гальваностатического заряд/разряда и импедансной спектроскопии. Определенно, что процесс хранения заряда в кремний-углеродных пленках носит преимущественно емкостный характер. Наилучшее сохранение удельной емкости наблюдается у образцов электродов, содержащих никель.

DOI: 10.31857/S0367676523701442, EDN: VLQSVY

### **ВВЕДЕНИЕ**

В настоящее время потребность в энергии для транспортных средств и портативных электронных устройств требуют подготовки улучшенных систем накопления энергии, которые могут поддерживать высокую плотность энергии и мощности [1-6]. В частности, в качестве таких устройств могут выступать суперконденсаторы, которые получили особое внимание среди других энергетических устройств из-за их способности к накоплению более высокой удельной мощности и длительного циклического срока службы. Плотность энергии и мощности суперконденсаторов могут быть увеличены за счет увеличения емкости. В первую очередь это может быть установлено путем использования электродов с высокой емкостью. Популярные электродные материалы для суперконденсаторов включают углеродные материалы, проводящие полимеры и оксиды переходных металлов [7-9].

Среди углеродных материалов, в качестве потенциального материала для электродов суперконденсаторов следует выделить кремний-углеродные пленки (КУП). Кремний-углеродные пленки обладают рядом уникальных: термическая стабильности (не менее 300°С), твердость, низкий коэффициент трения, химическая инертность, большая ширина запрещенной зоны [10]. Так же электроды на основе кремний-углеродных пленок могут обеспечить более высокую емкость

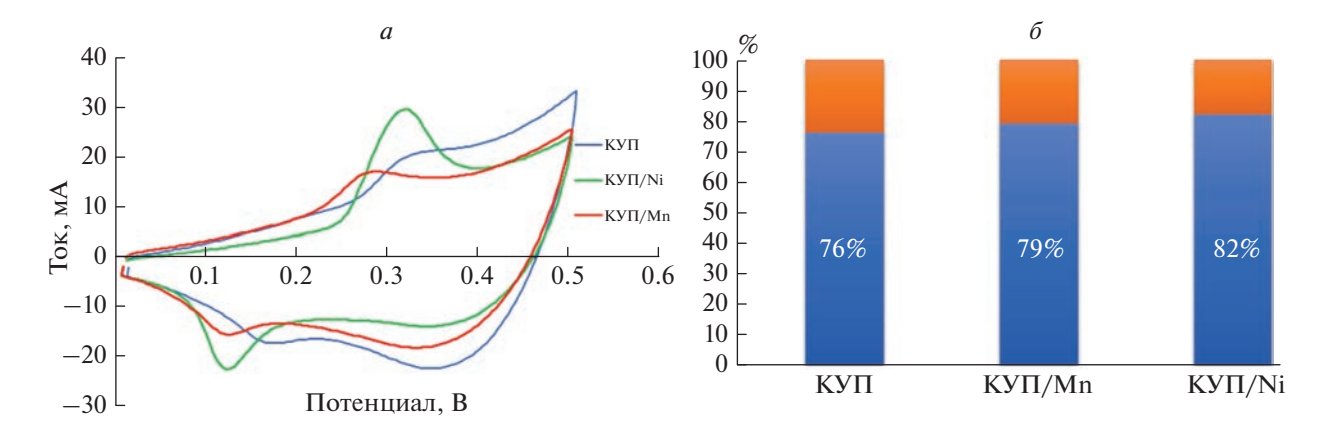
за счет быстрой и обратимой окислительно-восстановительной реакции [11].

Целью данной работы было исследование влияния легирующей добавки на функциональные характеристики (емкость, стабильность, скорость заряда/разряда), и импедансные характеристики, а также изучение механизмов хранения заряда электродов суперконденсаторов на основе КУП.

#### ПРОВЕДЕНИЕ ЭКСПЕРИМЕНТА

Синтез кремний-углеродных пленок проводили на установке, описанной в работе [12], с использования источника высокого напряжения (600 В). В качестве подложки использовали медную фольгу размером  $28 \times 12 \times 0.5$  мм. Осаждение кремний-углеродных пленок производилось из смеси гексаметилдисилазана (ГМДС) и метанола в соотношении 1:9 в течение 30 мин при напряжении 180 В. Получение металл-содержащих кремний-углеродных пленок проводили в две стадии: 1) на первой стадии проходило осаждение кремний-углеродных пленок без легирования атомами металлов; 2) на второй стадии в раствор вводили солей  $Ni(NO_3)_2 \cdot 6H_2O$  или  $MnSO_4 \cdot 5H_2O$  в количестве 0.05 мас. % и осаждали в течение 5 мин при потенциале 40-60 В.

Электрохимические характеристики измеряли в трех электродной системе, где коммерческий электрод Ag/AgCl (3M KCl) использовался в качестве электрода сравнения, а углеродный электрод



**Рис. 1.** Циклические вольтамперограммы (a); соотношение вкладов в механизм хранения заряда: диффузионный (оранжевый) и емкостной (синий) ( $\delta$ ) для электродов суперконденсаторов при 100 мB/c.

использовался в качестве противоэлектрода. Измерение проведены с использованием потенциостата/гальваностата Ellins P-45X при комнатной температуре в растворе 8 M NaOH.

Характеристики кремний-углеродных пленок были поучены методами циклической вольтамперометрии (ЦВА) при скорости сканирования 20–100 мВ/с, гальваностатического заряда-разряда при плотности тока 430–860 мА/г и электрохимической импедансной спектроскопии в диапазоне частот от 0.01 Гц до 50 кГц.

#### РЕЗУЛЬТАТЫ И ИХ ОБСУЖДЕНИЕ

Циклический вольтамперометрический анализ проводили при скорости сканирования 20-100 мВ /с в диапазоне потенциалов 0-0.5 В. Кривые ЦВА демонстрировали типичные псевдоемкостные характеристики, как показано на рис. 1а. Для всех образцов наблюдается набор окислительно-восстановительных пиков в результате обратимой окислительно-восстановительной реакции, которая происходит на поверхности электродных материалов. Из рис. 1а видно, что высота пика увеличивается при введении металлов в пленку. Наибольший ток отклика на окислительно-восстановительные пики наблюдался в КУП легированной никелем. Так же с увеличением скорости сканирования наблюдалось увеличение интенсивности и площади окислительно-восстановительных пиков. Кроме того, значения пика окисления и пика восстановления сместились на более высокие и более низкие соответственно. Это указывает на то, что псевдоемкостное поведение становится более очевидным с увеличением скорости сканирования, особенно при скорости сканирования 100 мВ/с.

Чтобы объяснить механизмы хранения заряда в КУП был исследован вклад псевдоемкости [13—15]. Для этого были рассмотрены следующие

три механизма накопления заряда: 1) фарадеевские вклады контролируемой диффузией, 2) фарадеевский вклад, связанный с внешним эффектом псевдонапряженности и 3) не фарадеевский вклад, связанный с эффектом двойного электрического слоя. Фарадеевский и не фарадеевский механизмы могут быть количественно проанализированы на основе измерений ЦВА с использованием следующей формулы:

$$i(v) = av^{\beta},\tag{1}$$

где i — ток (мA), a и b — регулируемые константы, а υ – скорость сканирования (мВ/с). Коэффициент b может быть определен по наклону  $\lg i$  против lg  $\upsilon$ . Если значение b=0.5 это означает, что в кинетике накопления заряда в основном доминируют фарадеевские процессы, контролируемые диффузией; в противном случае, если оно приближается к 1, то это указывает на то, что процесс хранения заряда носит емкостный характер. Полученное значение b вычисляется для обоих пиков, таким образом для катодного пика значения варьировались от 0.8-0.95 для анодного пика от 0.77-0.9. Приведенные выше полученные значения в демонстрируют, что в электрохимической реакции доминирует процесс хранения заряда с емкостным управлением, в то время как диффузионное управление незначительно. Таким образом, отклик на ток при любом фиксированном потенциале может быть описан как сумма эффекта псевдоемкости и поведения, контролируемого диффузией:

$$i(V) = k_1 v + k_2 v^{1/2}.$$
 (2)

Соотношение вклада, контролируемого диффузией  $(k_2 v^{1/2})$ , и вклада, контролируемого поверхностью, емкостного  $(k_1 v)$ , может быть рассчитано путем определения констант  $k_1$  и  $k_2$ . На рис.  $1 \sigma$  показан емкостный вклад электродов

КУП (76%), КУП/Мп (79%) и КУП/Ni (82%) при скорости сканирования 100 мВ/с. Этот повышенный емкостный вклад в основном обусловлен морфологией КУП и его пористостью [16].

Чтобы глубже понять кинетику электрода, были выполнены исследования электрохимической импедансной спектроскопии. Годографы импеданса для образцов электродов приведены на рис. 2. Графики показывают преимущественно линейный тренд в высокочастотной области и низкочастотной области. Низкочастотная часть графиков Найквиста показывает отклонение от вертикальной линии под углом 45°, что является результатом неидеального емкостного поведения [17] из-за пористости пленок, а также это указывает на наличие емкостного отклика в пленках и диффузии ионов [18].

Интерпретацию годографов импеданса проводили с помощью программного обеспечения ZView, Scribner Associates. Полученная эквивалентная схема представлена на рис. 2. Пересечение импеданса с действительной осью в высокочастотной области соответствует значению сопротивления элемента R1 (сопротивление границы раздела электролит/электрод), далее последовательно соединен элемент СРЕ – емкость двойного электрического слоя и параллельно к нему присоединен элемент R2 — отвечающий за сопротивление переноса заряда и элемент Wo — отображает низкочастотный линейный участок элемента Варбурга, который характеризует диффузионное сопротивление. Численные результаты моделирования представлены в табл. 1.

По результатам моделирования, наблюдались заметные изменения сопротивления переноса заряда при легировании марганцем (сопротивление элемента R2 составляет 4.09 Ом), что в 3 раза больше, чем для КУП и КУП/Ni. Меньшие значения сопротивлений R1 и R2 для КУП и КУП/Ni указывает на быстрый перенос ионов в электролите и диффузию на поверхности электрода [19]. Аппроксимация экспериментальных данных и определение параметров выбранных электрических схем производились при минимальном отклонении спектра модели и спектра экспериментальных данных.

Результаты исследований методом гальваностатического заряд/разряда представлены на

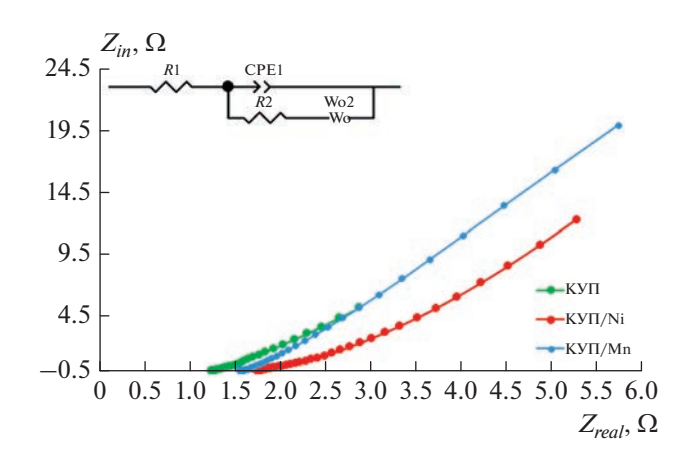


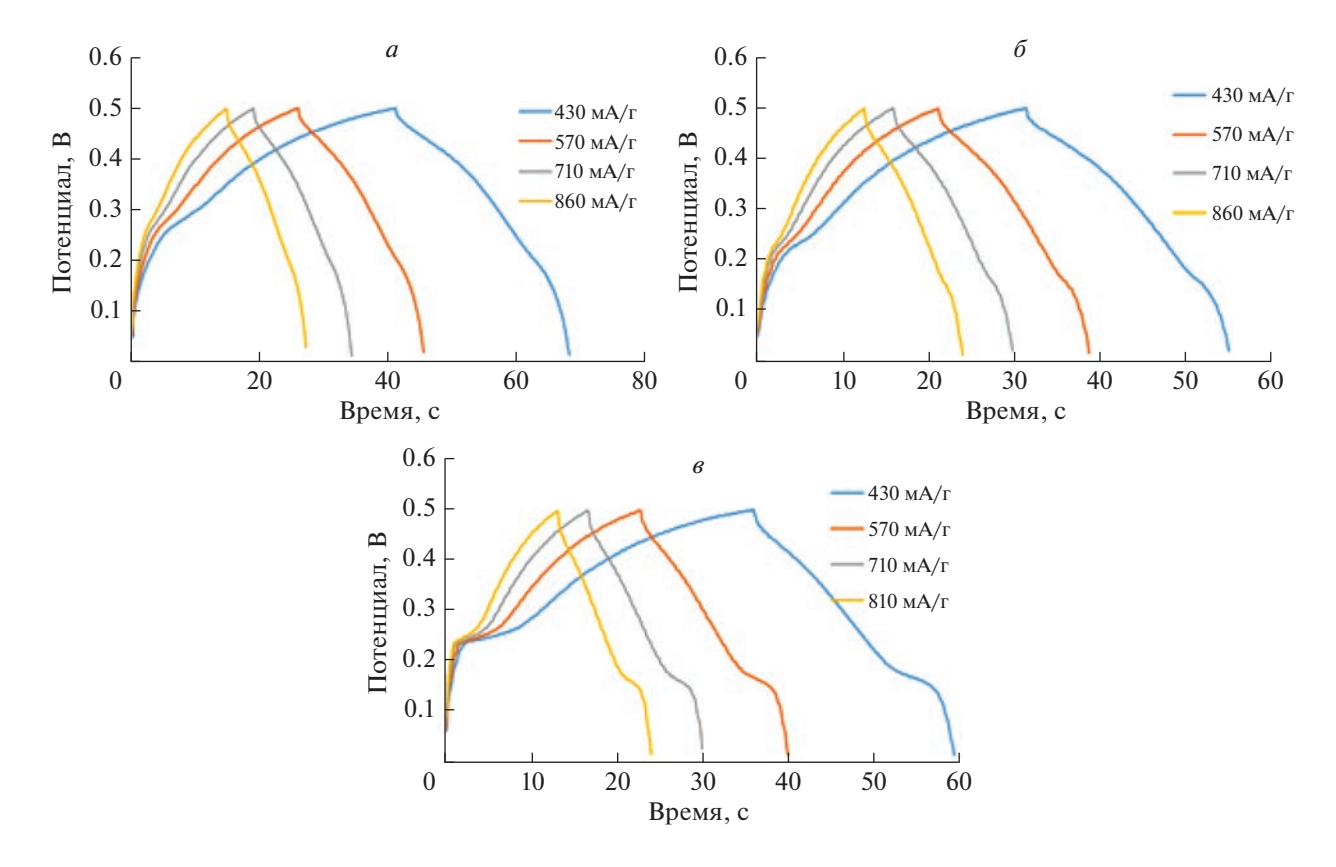
Рис. 2. Спектры электрохимического импеданса.

рис. 3. Общее время заряд/разряда образцов при плотности тока 430 мА/г составило 70, 55 и 60 с для КУП, КУП/Мп и КУП/Ni соответственно. Более того, было замечено, что время разряда изменяется обратно пропорционально величине плотности тока, как показано на рис. 3a-3e. Это может быть связано с тем, что при меньшей плотности тока ионы электролитов приобретают достаточное время для доступа к активному материалу. Следовательно, ионы могут сталкиваться с меньшим сопротивлением при меньшем возбуждении ионов и наоборот.

Расчет удельных емкостей кремний-углеродных пленок был выполнен с использованием заряд/разрядных характеристик. Удельные емкости для образца КУП оцениваются как 231, 224, 218,  $210 \ \Phi \cdot \Gamma^{-1}$  при плотности тока 430—860 мА/г. Рассчитанные значения емкости для образца  $KУ\Pi/Mn\ 205,\ 201,\ 197,\ 193\ \Phi\cdot \Gamma^{-1}$  при соответствующих значениях плотности тока. Для КУП/Ni удельная емкость составила, 215, 210, 205, 195  $\Phi \cdot \Gamma^{-1}$ . Более высокие значения емкости соответствуют высокому значению электропроводности наряду с большей пористостью [16, 20, 21]. Так же, из рис. 3 можно увидеть, что кремний-углеродные пленки демонстрируют две тенденции заряда/разряда: 1) нелинейность, что подтверждает их псевдоемкостную природу и 2) разряд двойного электрического слоя, который формируется на поверхности материала при заряде.

Таблица 1. Расчетные параметры для эквивалентных схем

Тип кремний- углеродной пленки	Сопротивление <i>R</i> 1, Ом	Емкость СРЕ, Ф	Сопротивление R2, Ом	Сопротивление Wo, Ом	Емкость Wo, Ф
КУП	1.24	0.015	1.21	0.15	0.0013
КУП/Мп	1.74	0.017	4.09	48.7	1.0770
КУП/Ni	1.57	0.015	1.78	22.63	0.0130



**Рис. 3.** Кривые заряд/разряда при различных значениях плотности тока для электродов КУП (a); КУП/Мп ( $\delta$ ); КУП/Ni (a); циклическая стабильность при 860 мA/г.

Исследование циклической стабильности проходило в течении 450 циклов заряда—разряда при плотности тока 860 мА/г. Как видно из рис. Зе наименьший разброс значений демонстрирует образец КУП/Ni. Сохранение удельной емкости для никельсодержащего образца составило 99%. Для КУП сохранение удельной емкости составило 97%, в то время как для образца, легированного марганцем, удельная емкость после 450 циклов заряд/разряда увеличилось на 2% по сравнению с начальным значением.

#### ЗАКЛЮЧЕНИЕ

Кремний-углеродные пленки были синтезированы электрохимическим методом из гексаметилдисилазана и метанола, а также в присутствии солей марганца и никеля. В результате исследований электродов суперконденсаторов на их основе методами циклической вольтамперометрии и гальваностатического заряд/разряда определено, что кремний-углеродные пленки обладают псевдоемкостными свойствами. Было установлено, что механизм накопления заряда в кремний-углеродных пленках в основном связан с окислительно-восстановительными реакциями и вклад, контролируемый диффузией в общей емкости

незначителен. Наибольший емкостный вклад наблюдался в КУП/Nі и составил 82%.

Моделирование годографов импеданса методом эквивалентных схем показало, что все типы электродов описываются одной электрической схемой и обладают неидеальным емкостным поведением. Наиболее быстрый перенос ионов в электролите обнаружен в электродах на основе КУП и КУП/Ni.

Дальнейшие исследования стабильности кремний-углеродных материалов показало, что наилучшие сохранение удельной емкости в никель-содержащих образцах, поскольку сохранение емкости после 450 циклов составило 99%.

Исследование выполнено при поддержке Программы стратегического академического лидерства Южного федерального университета ("Приоритет 2030").

#### СПИСОК ЛИТЕРАТУРЫ

- Tarascon J.M., Armand M. // Nature. 2001. V. 414. P. 359.
- 2. Nishide H., Oyaizu K. // Science. 2008. V. 319. P. 737.
- Rogers J.A., Someya T., Huang Y. // Science. 2008.
  V. 327. P. 1603.

- Lipomi D.J., Bao Z. // Energy Environ. Sci. 2011. V. 4. P. 3314
- Hussain I.M., Khalil A.M.R., Hussain F. // Energy Technol. 2021. V. 9. Art. No. 2001026.
- 6. *Khan S.U.D., Almutairi Z.A., Al-Zaid O.S.* // Appl. Phys. 2020. V. 20. P. 582.
- Jintao Z., Zhenhai X., Liming D. // Sci. Advances. 2015.
  V. 1. Art. No. e1500564.
- 8. Wu Z., Sun Y., Yuan-Zhi T.Y., Yang S. et al. // Chem. Soc. 2012. V. 134. P. 19532.
- 9. Shakoor A., Rizvi T.Z., Sulaiman M. et al. // Sci. Mater. Electron. 2010. V. 21. P. 603.
- 10. *Barbieri O., Hahn M., Foelske A., Kotz R.J.* // Electrochem. Soc. 2006. V. 153. Art. No. A2049.
- 11. *Hu C.C.*, *Chen C.W.*, *Chang H.K.J.* // Electrochem. Soc. 2004. V. 151. Art. No. A281.
- 12. Grigoryev M.N., Myasoedova T.N., Mikhailova T.S. // J. Phys. Conf. Ser. 2018. V. 1124. Art. No. 081043.

- 13. Jagiello J., Chojnacka A., Pourhosseini S.E.M. et al. // Carbon. 2021. V. 178. P. 113.
- 14. Tien-Yu Yi, Cheng-Wei Tai, Chi-Chang Hu. J. // Power Sources. 2021. V. 501. Art. No. 230029.
- Stoller M.D., Ruoff R.S. // Energy Environ. Sci. 2010.
  V. 9. P. 1294.
- Muhammad Sufyan Javed, Syed Shoaib Ahmad Shah, Shahid Hussain et al. // Chem. Eng. J. 2020. V. 382. Art. No. 122814.
- Cericola D., Spahr M.E. // Electrochim. Acta. 2016.
  V. 191. P.558.
- Devillers N., Jemei S., Péra M.C. et al. // J. Power Sources. 2014. V. 246. P. 596.
- Suss M.E., Baumann T.F., Worsley M.A. et al. // J. Power Sources, 2013. V. 241. P. 266.
- 20. Jinhee Kang, John Wen, Shesha H. Jayaram et al. // Electrochim. Acta. 2014. V. 115. P. 587.
- Stoeckli F., Centeno T.A. // J. Mater. Chem. A. 2013.
  V. 1. P. 6865.

# Investigation of the characteristics of supercapacitor electrodes based on doped silicon-carbon films

I. Yu. Bogush<sup>a, \*</sup>, N. K. Plugotarenko<sup>a</sup>

 $^a {\it Institute~of~Nanotechnologies,~Microelectronics~and~Equipment~Engineering,~Southern~Federal~University,} \\ {\it Taganrog,~347900~Russia}$ 

\*e-mail: inlys@sfedu.ru

Silicon-carbon films undoped and doped with manganese and nickel have been investigated by cyclic voltammetry, galvanostatic charge/discharge and impedance spectroscopy. The charge storage process in siliconcarbon films is determined to be predominantly capacitive in nature. The best specific capacitance retention is observed for electrode samples containing nickel.